

# Регенеративный режим в оптомеханическом преобразователе с модулированной накачкой

В.В.Кулагин

*Рассмотрена проблема регистрации слабых классических сил с помощью оптомеханического преобразователя с модулированной накачкой. Для увеличения чувствительности схемы предложено использовать параметрическую регенерацию оптического резонатора путем введения дополнительного квадратичного нелинейного элемента с подсветкой на двойной частоте. Оценена предельная чувствительность такого преобразователя и обсуждаются перспективы его практической реализации.*

**Ключевые слова:** оптомеханические преобразователи, обнаружение классических сил, модулированная накачка, параметрическая регенерация.

## 1. Введение

Проблема обнаружения слабых воздействий на механические системы с исчезающе малой диссипацией является чрезвычайно актуальной для экспериментов с пробными телами. Обычно для регистрации классических сил используется электромеханический [1–3] или оптомеханический [4–7] преобразователь. При этом оптомеханический преобразователь более оптимален с точки зрения перспективы повышения чувствительности, поскольку в оптическом диапазоне шумы преобразователя являются квантовыми и имеют фундаментальный характер, в то время как в диапазоне СВЧ, не говоря уже о радиодиапазоне, они носят в основном тепловой характер (здесь энергия кванта  $\hbar\omega$  оказывается меньше энергии теплового движения  $kT$  на несколько порядков).

В традиционном (фазонечувствительном) режиме электродинамические преобразователи позволяют регистрировать внешнее воздействие с амплитудой, не меньшей так называемого стандартного квантового предела [1, 2]

$$F_{\text{sql}} = (\zeta/\hat{\tau})(M\hbar\omega_\mu)^{1/2}, \quad (1)$$

где  $\hat{\tau}$  – длительность внешнего воздействия (силы);  $M$  и  $\omega_\mu$  – масса и частота механического осциллятора;  $\zeta$  – параметр, составляющий несколько единиц. Согласно постулатам квантовой механики, классическую переменную (силу) можно измерить сколь угодно точно. В этом смысле фазонечувствительный режим в оптомеханическом преобразователе не является оптимальным для обнаружения классической внешней силы.

Для увеличения чувствительности электродинамических преобразователей в [1, 2] предложено использовать модулированную (двухкомпонентную) накачку вида

$$E(t) = E_{\text{las}} \cos(\omega_\mu t + \varphi) \cos \omega_0 t = \frac{E_{\text{las}}}{2} \{ \cos[(\omega_0 + \omega_\mu)t + \varphi] + \cos[(\omega_0 - \omega_\mu)t - \varphi] \}, \quad (2)$$

где  $\omega_0$  – частота оптического (электрического) контура. Эта накачка представляет собой две моды, настроенные на разные склоны резонансной кривой высокочастотного контура. Постоянный фазовый сдвиг  $\varphi$  в выражении (2) введен для компенсации запаздывания отклика внутри контура по отношению к вынуждающей силе для двух мод. Накачка такого вида обеспечивает фазочувствительную регистрацию внешнего воздействия (измеряется только определенная квадратурная компонента внешней силы, определяемая формой накачки), что позволяет улучшить чувствительность системы. В этом случае минимальная регистрируемая амплитуда внешней силы [1, 2, 4]

$$F_0 \geq F_{\text{sql}} \left( \frac{\delta_e}{2\omega_\mu} \right)^{1/2}, \quad (3)$$

где  $\delta_e$  – ширина резонансной кривой оптического (электрического) контура. Платой за повышение чувствительности является неспособность установки восстанавливать форму внешней силы, т. к. информация об одной из квадратурных компонент теряется в процессе измерений (для точного восстановления формы требуются как минимум две одинаковые системы, регистрирующие разные квадратурные компоненты внешней силы).

Резерв повышения чувствительности определяется согласно выражению (3) фактором  $\delta_e/2\omega_\mu$ . Для электромеханических преобразователей затухание высокочастотного контура  $\delta_e$  может быть сделано на несколько порядков меньше резонансной частоты механического осциллятора  $\omega_\mu$ . В то же время в оптическом диапазоне сделать  $\delta_e$  значительно меньше  $\omega_\mu$  чрезвычайно сложно с технической точки зрения [6]: даже для предельного в настоящее время коэффициента отражения зеркал  $r \approx 1 - 10^{-6}$  затухание  $\delta_e$  оказывается порядка  $\omega_\mu$ . В этой связи разработка альтернативных методов повышения чув-

Государственный астрономический институт им. П.К.Штернберга МГУ им. М.В.Ломоносова, Россия, 119899 Москва, Университетский просп., 13.

Поступила в редакцию 18 февраля 2000 г., после доработки – 27 июля 2000 г.

ствительности в оптомеханических преобразователях с модулированной накачкой представляет несомненный интерес.

Ограничение чувствительности в схемах с двухкомпонентной накачкой возникает из-за воздействия шумов преобразователя на частотах  $\omega_0 \pm 2\omega_\mu$  на механическую систему. Фактор выигрыша согласно (3) есть не что иное, как коэффициент относительного подавления этих шумов узкополосной резонансной кривой высокочастотного контура. Таким образом, уменьшая каким-либо способом затухание высокочастотного контура, например с помощью параметрической регенерации, можно поднять чувствительность регистрации установкой внешней силы.

Целью настоящей работы является анализ чувствительности обнаружения внешней классической силы, действующей на высокочастотный механический осциллятор, с помощью оптомеханического (электромеханического) преобразователя с модулированной накачкой в регенеративном режиме (ниже порога генерации).

Для определенности дальнейший анализ будет проведен для оптомеханических преобразователей, хотя все выводы и результаты справедливы также и для преобразователей электромеханического типа с соответствующей заменой параметров.

## 2. Модель и основные уравнения

Схема измерительной системы приведена на рис. 1. В состав оптомеханического преобразователя входит высокочастотный осциллятор с резонансной частотой  $\omega_\mu$ , затуханием  $\delta_\mu$  и массой  $M$ , к которому прикреплено подвижное зеркало 1 интерферометра Фабри–Перо; зеркало 2 оптического резонатора закреплено жестко [6]. На механический осциллятор действуют измеряемая сила  $F_s$  и найквистовская сила  $F_\mu$ , определяющая тепловые колебания осциллятора в ланжевеновском подходе.

Пусть для простоты зеркало 1 является практически полностью отражающим, а через неподвижное зеркало 2 осуществляется накачка интерферометра. Внутри интерферометра для параметрической регенерации помещен оптический элемент с квадратичной нелинейностью, подсветка которого осуществляется электромагнитным полем с частотой  $2\omega_0$ . Для определенности будем считать, что для комплексной амплитуды поля коэффициент от-

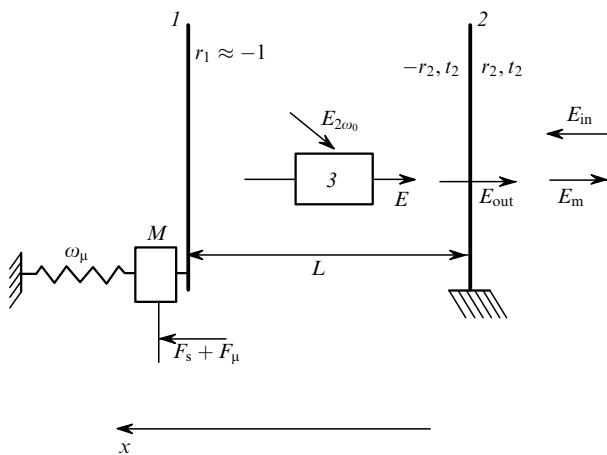


Рис. 1. Схема измерительной системы: 1, 2 – зеркала интерферометра Фабри–Перо; 3 – нелинейный оптический элемент.

ражения от внешней поверхности зеркала 2 положителен и равен  $r_2 > 0$ , а коэффициент отражения от внутренней поверхности отрицателен и равен  $-r_2$ , при этом коэффициент прохождения  $t_2$  будет действительной величиной [8]. Этот случай, очевидно, соответствует высокочастотному оптическому резонатору с многослойными диэлектрическими покрытиями, напыленными на внутренние поверхности зеркал интерферометра, и с просветляющим покрытием на внешней поверхности зеркала 2.

Пусть поле  $E_{in}(t)$ , падающее на систему, имеет следующий вид:

$$E_{in}(t) = E'_c(t) \cos \omega_0 t - E'_s(t) \sin \omega_0 t, \quad (4)$$

где  $E'_c(t)$  и  $E'_s(t)$  – квадратурные компоненты. Тогда для поля  $E_i(t)$  внутри интерферометра (бегущая волна) в одномодовом приближении будет справедливо следующее уравнение [9]:

$$\begin{aligned} \ddot{E}_i(t) + 2\delta_c \dot{E}_i(t) + \omega_1^2(1 + m \sin 2\omega_0 t)E_i(t) \\ = 2\omega_0 t_2 \tau_1^{-1} [-E'_s(t) \cos \omega_0 t + E'_c(t) \sin \omega_0 t]. \end{aligned} \quad (5)$$

Здесь  $m \ll 1$  – индекс модуляции, определяемый характеристиками квадратичного нелинейного оптического элемента и полем подсветки на двойной частоте;  $\tau_1 = 2L/c$  – постоянная оптического резонатора длиной  $L$ ;  $c$  – скорость света;  $\delta_c = (1 - r_2)\tau_1^{-1} = c(1 - r_2)/(2L)$  – затухание моды резонатора (предполагается, что  $r_2 \approx 1$ );  $\omega_0 = \pi c/L$  – резонансная частота интерферометра Фабри–Перо при зафиксированном зеркале 1 (смещение от положения равновесия  $x = 0$ );  $\omega_1 = \pi c/(L + x) \approx \omega_0(1 - x/L)$  – медленно меняющаяся частота интерферометра при движении зеркала 1 (отношение  $x/L \ll 1$ ). Экспериментально осуществить регенерацию оптического резонатора можно, например, по схеме, использованной в [10].

Для поля, попадающего в измерительный прибор (гомодинный детектор), имеем

$$E_m(t) = t_2 E_i(t) + E_{in}(t), \quad (6)$$

где первый член в правой части уравнения (6) связан с выходом излучения из резонатора, а второй член – с прямым отражением падающего излучения от зеркала 2 (опять предполагается, что  $r_2 \approx 1$ ).

Пусть поле лазера накачки имеет вид (2). Тогда для квадратурных компонент  $E'_c(t)$  и  $E'_s(t)$  имеем:

$$E'_c(t) = E_{las} \cos(\omega_\mu t + \varphi) + E_c(t), \quad E'_s(t) = E_s(t), \quad (7)$$

где  $E_c(t)$  и  $E_s(t)$  – операторы квантовых флуктуаций квадратурных компонент поля, падающего на интерферометр. Если это поле находится в когерентном состоянии, то  $E_c(\omega)$  и  $E_s(\omega)$  будут некоррелированы, а их спектральные плотности [11, 12]

$$\langle |E_c^2(\omega)| \rangle = \langle |E_s^2(\omega)| \rangle = N_0, \quad (8)$$

где  $N_0 = \pi \hbar \omega_0 / (cS)$ ;  $S$  – площадь сечения пучка накачки. Для простоты избыточные шумы излучения лазера накачки и собственные шумы нелинейного элемента в дальнейшем анализе не учитываются.

Уравнение для поля (5) необходимо дополнить уравнением движения для механического осциллятора

$$\ddot{x} + 2\delta_\mu \dot{x} + \omega_\mu^2 x = \frac{F_{pr}}{M} + \frac{F_s}{M} + \frac{F_\mu}{M} = f_{pr} + f_s + f_\mu, \quad (9)$$

где

$$F_{pr} = \frac{SE_i^2(1+r_2)}{4\pi} \simeq \frac{SE_i^2}{2\pi} \quad (10)$$

– сила светового давления внутреннего поля интерферометра на зеркало  $I$ .

Флуктуации квадратурных компонент поля в когерентном состоянии  $E_c(t)$  и  $E_s(t)$  обычно значительно меньше амплитуды колебаний лазера накачки  $E_{las}$ , что позволяет линеаризовать уравнения движения (5), (9) и (10) по флуктуациям.

Для поля накачки внутри интерферометра имеем следующее уравнение:

$$\begin{aligned} \ddot{E}_p(t) + 2\delta_e \dot{E}_p(t) + \omega_0^2(1+m \sin 2\omega_0 t)E_p(t) \\ = 2\omega_0 t_2 \tau_1^{-1} E_{las} \cos(\omega_\mu t + \varphi) \sin \omega_0 t. \end{aligned} \quad (11)$$

Тогда поле вынужденных колебаний определяется выражением

$$\begin{aligned} E_p(t) = \frac{-t_2 E_{las}}{\tau_1[(\delta_e - m\omega_0/4)^2 + \omega_\mu^2]^{1/2}} \\ \times \cos(\omega_\mu t + \varphi + \vartheta) \cos \omega_0 t, \end{aligned} \quad (12)$$

где  $\vartheta = \arctan[\omega_\mu/(\delta_e - m\omega_0/4)]$  – запаздывание отклика (поля внутри резонатора) по сравнению с вынуждающей силой (полем лазера накачки). Выбирая для определенности  $\varphi + \vartheta = 0$ , получаем поле вынужденных колебаний лазера внутри интерферометра

$$\begin{aligned} E_p(t) = \frac{-t_2 E_{las}}{\tau_1[(\delta_e - m\omega_0/4)^2 + \omega_\mu^2]^{1/2}} \cos \omega_\mu t \cos \omega_0 t \\ = E_0 \cos \omega_\mu t \cos \omega_0 t. \end{aligned} \quad (13)$$

Проведя линеаризацию выражений (5), (9) и (10), придем окончательно к следующей системе уравнений ( $E = E_i - E_p$ ):

$$\begin{aligned} \ddot{E}(t) + 2\delta_e \dot{E}(t) + \omega_0^2(1+m \sin 2\omega_0 t)E(t) \\ = -2\omega_0^2 x L^{-1} E_0 \cos \omega_\mu t \cos \omega_0 t \\ + 2\omega_0 t_2 \tau_1^{-1} (E_s(t) \cos \omega_0 t + E_c(t) \sin \omega_0 t), \end{aligned} \quad (14)$$

$$\ddot{x} + 2\delta_\mu \dot{x} + \omega_\mu^2 x = -SE_0(\pi M)^{-1} \cos \omega_\mu t \overline{E(t)} \cos \omega_0 t$$

$$+ f_s(t) + f_\mu(t),$$

$$E_m(t) = t_2 E_i(t) + E_{in}(t),$$

где черта над выражением  $E(t) \cos \omega_0 t$  означает усреднение по времени.

### 3. Чувствительность оптомеханического преобразователя

Для решения системы (14) используем метод медленно меняющихся амплитуд. Пусть поле  $E(t)$  внутри интерферометра представлено в следующем виде:

$$E(t) = E_1(t) \cos \omega_0 t - E_2(t) \sin \omega_0 t, \quad (15)$$

где  $E_1, E_2$  – квадратурные компоненты поля. Тогда согласно (14) оптомеханический преобразователь описывается следующими укороченными уравнениями движения:

$$\dot{E}_1(t) + \delta_1 E_1(t) = -t_2 \tau_1^{-1} E_c(t),$$

$$\dot{E}_2(t) + \delta_2 E_2(t) = -t_2 \tau_1^{-1} E_s(t) + \omega_0 L^{-1} E_0 x \cos \omega_\mu t, \quad (16)$$

$$\ddot{x} + 2\delta_\mu \dot{x} + \omega_\mu^2 x = -SE_0(2\pi M)^{-1} E_1 \cos \omega_\mu t + f_s + f_\mu,$$

где  $\delta_1 = \delta_e - m\omega_0/4$ ;  $\delta_2 = \delta_e + m\omega_0/4$ . Согласно уравнениям (16), эквивалентное затухание различно для двух квадратурных компонент поля внутри интерферометра, что является следствием параметрической регенерации оптического резонатора. Информация о координате  $x$  механического осциллятора попадает в квадратурную компоненту  $E_2$  поля в интерферометре (и, соответственно, в ту же квадратурную компоненту выходящего поля), а на механическую систему действуют флуктуации квадратурной компоненты  $E_1$ .

Пусть сигнал  $f(t)$  имеет следующий вид:

$$f(t) = f_0 \sin \omega_\mu t, \quad 0 \leq t \leq \hat{\tau}, \quad \omega_\mu \hat{\tau} \geq 1 \quad (17)$$

и  $f(t) = 0$  в другие моменты времени. Переходя к частотному представлению, для координаты механического осциллятора и для квадратурных компонент поля  $E_1$  и  $E_2$  из системы (16) получим

$$E_1(\omega) = -t_2 \tau_1^{-1} E_c(\omega) (\delta_1 - i\omega)^{-1},$$

$$E_2(\omega) = -t_2 \tau_1^{-1} E_s(\omega) (\delta_2 - i\omega)^{-1}$$

$$+ \omega_0 L^{-1} E_0 (\delta_1 - i\omega)^{-1} [x(\omega + \omega_\mu) + x(\omega - \omega_\mu)], \quad (18)$$

$$\begin{aligned} x(\omega) = G(\omega) \left\{ SE_0 t_2 (4\pi M \tau_1)^{-1} \right. \\ \left. \times \left[ \frac{E_c(\omega - \omega_\mu)}{\delta_1 - i(\omega - \omega_\mu)} + \frac{E_c(\omega + \omega_\mu)}{\delta_1 - i(\omega + \omega_\mu)} \right] + f_s(\omega) + f_\mu(\omega) \right\}, \end{aligned}$$

где  $G(\omega) = (\omega_\mu^2 - \omega^2 - 2i\delta_\mu \omega)^{-1}$  – передаточная функция механического осциллятора. Подставляя далее выражение для  $x(\omega)$  из третьего уравнения системы (18) во второе уравнение и учитывая соотношение (6), для синусной квадратурной компоненты измеряемого поля получаем

$$E_{m2}(\omega) = -E_s(\omega) \frac{\delta_1 + i\omega}{\delta_2 - i\omega} + \frac{S\omega_0 E_0^2 \delta_e}{2\pi M L (\delta_2 - i\omega)}$$

$$\times \left\{ \frac{E_c(\omega)}{\delta_1 - i\omega} [G(\omega + \omega_\mu) + G(\omega - \omega_\mu)] + \right.$$

$$\begin{aligned}
& + \frac{G(\omega - \omega_\mu)}{\delta_1 - i(\omega - 2\omega_\mu)} E_c(\omega - 2\omega_\mu) + \frac{G(\omega + \omega_\mu)}{\delta_1 - i(\omega + 2\omega_\mu)} E_c(\omega + 2\omega_\mu) \Big\} \\
& + \frac{\omega_0 E_0 t_2}{L(\delta_2 - i\omega)} \{ [f_s(\omega + \omega_\mu) + f_\mu(\omega + \omega_\mu)] G(\omega + \omega_\mu) \\
& + [f_s(\omega - \omega_\mu) + f_\mu(\omega - \omega_\mu)] G(\omega - \omega_\mu) \}. \quad (19)
\end{aligned}$$

Пусть при измерении используется спектр квадратурной компоненты  $E_{m2}$  вблизи нулевых частот  $\omega \ll \omega_\mu$ . Будем также считать для простоты, что затухание  $\delta_\mu$  механической системы исчезающе мало, так что в уравнениях можно пренебречь членами, содержащими  $\delta_\mu$ , а также флуктуационными силами  $f_\mu$ . Тогда из выражения (19) после несложных преобразований получим для квадрата модуля спектра сигнала в квадратурной компоненте  $E_{m2}$  выражение

$$|E_{m2}^s(\omega)|^2 = \left( \frac{\omega_0 E_0 t_2 f_0 \hat{\tau}}{4\pi L \omega_\mu} \right)^2 (\delta_2^2 + \omega^2)^{-1}, \quad (20)$$

а для спектральной плотности шума в  $E_{m2}$

$$\begin{aligned}
\langle |E_{m2}^n(\omega)|^2 \rangle &= N_0 \left\{ \frac{\delta_1^2 + \omega^2}{\delta_2^2 + \omega^2} + \frac{S^2 \omega_0^2 E_0^4 \delta_\epsilon^2}{16\pi^2 M^2 L^2 \omega_\mu^2 (\delta_2^2 + \omega^2)} \right. \\
&\times \left. \left[ \omega_\mu^{-2} (\delta_1^2 + \omega^2)^{-1} + 2\omega^{-2} (\delta_1^2 + 4\omega_\mu^2)^{-1} \right] \right\}. \quad (21)
\end{aligned}$$

Наличие текущей частоты  $\omega$  в знаменателях выражений (20) и (21) не означает расходимости при  $\omega \rightarrow 0$ , т. к. для упрощения формул опущены члены с  $\delta_\mu$ , а именно они и ограничивают рост сигнала и шума на низких частотах.

Пусть отношение сигнал/шум  $\mu$  определяется обычным образом [13]:

$$\mu = \pi^{-1} \int_0^\infty |E_{m2}^s(\omega)|^2 d\omega / \langle |E_{m2}^n(\omega)|^2 \rangle. \quad (22)$$

Тогда, подставляя выражения (20) и (21) в (22), для отношения сигнал/шум найдем (как нетрудно видеть, текущая частота в знаменателях сокращается)

$$\begin{aligned}
\mu &= \left( \frac{\omega_0 E_0 t_2 f_0 \hat{\tau}}{4\pi L \omega_\mu} \right)^2 (N_0 \pi)^{-1} \\
&\times \int_0^\infty d\omega \left\{ \omega^4 + \left[ \delta_1^2 + \frac{\alpha}{(\delta_1^2 + \omega^2) \omega_\mu^2} \right] \omega^2 + \frac{2\alpha}{\delta_1^2 + 4\omega_\mu^2} \right\}^{-1}, \quad (23)
\end{aligned}$$

где для упрощения записи введено обозначение  $\alpha = [S \omega_0 E_0^2 \delta_\epsilon / (4\pi M L \omega_\mu)]^2$ .

В общем случае отношение сигнал/шум (23) не вычисляется аналитически. Заметим, однако, что  $\mu$  растет при уменьшении амплитуды накачки  $E_0$  (уменьшении параметра  $\alpha$ ); кроме того, при уменьшении  $E_0$  уменьшается также и полоса фильтрации. Следовательно, естественно предположить, что полоса фильтрации будет меньше  $\delta_1$  (в дальнейшем выполнение этого условия будет проверено), или, другими словами, основное значение интеграла для  $\mu$  будет набираться вблизи нулевых частот  $\omega \leq \delta_1$ . В этом случае можно пренебречь членом  $\omega^2$  по сравнению с  $\delta_1^2$  в знаменателе выражения, являющегося коэффициентом при  $\omega^2$  в (23) (полученное таким способом  $\mu$  будет меньше реального, т. е. даст оценку отношения сигнал/шум снизу).

В результате для  $\mu$  получается табличный интеграл, вычисление которого дает

$$\begin{aligned}
\mu &= \left[ \frac{\omega_0 E_0 t_2 f_0 \hat{\tau}}{4\pi L \omega_\mu} \right]^2 (4N_0)^{-1} \left\{ \frac{\alpha}{\delta_1^2 + 4\omega_\mu^2} \left[ \delta_1^2 + \frac{\alpha}{\delta_1^2 \omega_\mu^2} \right. \right. \\
&\left. \left. + \left( \frac{2\alpha}{\delta_1^2 + 4\omega_\mu^2} \right)^{1/2} \right] \right\}^{-1/2}. \quad (24)
\end{aligned}$$

Структура выражения (24) явно показывает, что при уменьшении амплитуды накачки  $E_0$  отношение сигнал/шум сначала растет, а потом остается практически постоянным. Это происходит при

$$\alpha \leq \delta_1^4 \omega_\mu^2. \quad (25)$$

В результате, оптимизируя накачку согласно условию (25), для максимального отношения сигнал/шум получим

$$\mu = \mu_{\text{sql}} \left( 1 + \frac{4\omega_\mu^2}{\delta_1^2} \right)^{1/2} = \mu_{\text{sql}} \left[ 1 + \frac{4\omega_\mu^2}{(\delta_\epsilon - m\omega_0/4)^2} \right]^{1/2}, \quad (26)$$

где  $\mu_{\text{sql}}$  – отношение сигнал/шум при измерении силы на уровне стандартного квантового предела (1). Таким образом, параметрическая регенерация в оптомеханическом датчике с модулированной накачкой действительно позволяет повысить отношение сигнал/шум, причем чем сильнее регенерация, тем меньше в принципе может быть амплитуда минимальной регистрируемой силы  $F_0 = F_{\text{sql}} \delta_1 / (2\omega_\mu) = F_{\text{sql}} (1 - R) \delta_\epsilon / (2\omega_\mu)$ , где  $R = m\omega_0 / (4\delta_\epsilon)$  – коэффициент регенерации.

Интересно отметить, что именно при амплитуде накачки, определяемой выражением (25), достигается, с одной стороны, отношение сигнал/шум  $\mu$ , близкое к максимальному, а с другой – максимальная полоса фильтрации. Действительно, полоса фильтрации  $\Delta\omega_f$  определяется как частота среза подынтегрального выражения (например, по уровню 1/2), поэтому из выражений (23) и (25) найдем

$$\Delta\omega_f^2 = 2\alpha\omega_\mu^2 \delta_1^2 \left[ (\delta_1^2 + 4\omega_\mu^2) (\alpha + \delta_1^4 \omega_\mu^2) \right]^{-1}. \quad (27)$$

При увеличении параметра  $\alpha$  (амплитуды накачки  $E_0$ ) до величины порядка  $\delta_1^4 \omega_\mu^2$  полоса фильтрации  $\Delta\omega_f$  сначала растет, а затем при  $\delta_1 \ll \omega_\mu$  остается постоянной и равной  $\delta_1/2$ , что подтверждает справедливость предположения, сделанного при оценке отношения сигнал/шум (23). Достижение максимальной полосы фильтрации при прочих равных условиях необходимо для уменьшения влияния тепловых шумов  $F_\mu$ , не учитываемых для простоты в данном анализе. Таким образом, оптимальная амплитуда накачки определяется равенством в выражении (25).

#### 4. Обсуждение результатов

Практическая реализация предложенного метода повышения чувствительности оптомеханического преобразователя связана не столько с возможностью достижения нужной степени регенерации оптического резонатора  $R$ , сколько с проблемой подавления избыточных шумов. Экспериментальная реализация оптических параметрических генераторов [14] не оставляет сомнений в реаль-

ности достижения  $R = 1$ , а формально при  $R \rightarrow 1$  выигрыш в чувствительности, согласно выражению (26), может быть произвольно большим.

Следует, однако, принимать во внимание, что в схеме требуется не просто увеличение коэффициента  $R$  до единицы, но также сохранение при этом на минимально возможном уровне различных избыточных шумов, связанных, например, с рассогласованием оптических фронтов лучей, с неоптимальным фазовым согласованием, с потерями различной природы в системе и т. п. Аналогичные проблемы возникают в задаче генерации сжатых состояний света [10, 15] (уменьшение дисперсии шумов в одной из квадратурных компонент поля за счет увеличения в другой). И хотя нет принципиальных ограничений допустимого коэффициента сжатия, полученные экспериментально сжатия пока невелики и определяются, в основном, доступными на сегодня технологиями.

Для оценки возможного выигрыша в чувствительности при настоящем уровне экспериментальной техники имеет смысл, видимо, исходить из результатов экспериментов по генерации сжатых состояний света. Для параметров оптической схемы, использованной в [10] (накачка интерферометра на  $\lambda = 532$  нм, накачка нелинейного оптического элемента  $\text{LiNbO}_3$  на  $\lambda = 1064$  нм, эффективное число отражений в резонаторе порядка 100), можно рассчитывать на выигрыш в чувствительности порядка нескольких децибелл [10, 15], так что резерв пока небольшой. В то же время нельзя не учитывать принципиальную важность экспериментального доказательства возможности обнаружения классической силы с чувствительностью, превышающей стандартный квантовый предел (1), т. к. эта задача до сих пор не решена.

Следует отметить, что параметрическая регенерация в оптомеханическом датчике с модулированной накачкой аналогична в некотором смысле использованию для накачки оптического резонатора поля в сжатом состоянии [16], например генерируемого вырожденным параметрическим усилителем [10]. Действительно, в настоящей работе проанализирован случай, когда неклассические (сжатые) состояния поля автоматически создаются

внутри оптического резонатора преобразователя за счет параметрической регенерации. В этом может состоять определенное преимущество вышеописанной схемы перед рассмотренной в [16], т. к. поле в легко разрушаемом сжатом состоянии не требуется пропускать через многочисленные оптические элементы установки. В то же время схема с внешним сжатием поля является более гибкой и допускает, в принципе, сжатие разных квадратурных компонент на комбинационных частотах  $\omega_0$  и  $\omega_0 \pm 2\omega_c$ , что еще сильнее увеличивает чувствительность [16]. Последний способ недоступен для схемы с параметрической регенерацией, поскольку и на частоте  $\omega_0$  и на частотах  $\omega_0 \pm 2\omega_c$  сжимается одна и та же квадратурная компонента (в нашем случае –  $E_2$ , см. (18), (19)).

В заключение необходимо еще раз подчеркнуть, что предложенный метод повышения чувствительности электродинамического преобразователя может быть особенно интересен для оптического диапазона, где резервы уменьшения затухания резонатора по сравнению с частотой механического осциллятора сильно ограничены.

1. Caves C.M., Thorne K.S., Drever R.W.P., Sandberg V. D., Zimmerman M. *Rev.Mod.Phys.*, **52**, 341 (1980).
2. Braginsky V.B., Vorontsov Yu.I., Thorne K.S. *Science*, **209**, 547 (1980).
3. Cinquegrana C., Majorana E., Rapagnani P., Ricci F. *Phys.Rev.D*, **48**, 448 (1993).
4. Гусев А.В., Кулагин В.В. *Квантовая электроника*, **15**, 1602 (1988).
5. Гусев А. В., Кулагин В. В. *Квантовая электроника*, **22**, 300 (1995).
6. Richard J.P. *Phys.Rev.D*, **46**, 2309 (1992).
7. Кулагин В.В., Руденко В.Н. *ЖЭТФ*, **91**, 1553 (1986).
8. Caves C.M. *Phys.Rev.D*, **23**, 1693 (1981).
9. Луговой В.Н. *Квантовая электроника*, **6**, 2053 (1979).
10. Breitenbach G., Muller T., Pereira S.F., Poizat J.Ph., Schiller S., Mlynek J. *J.Opt.Soc.Amer.B*, **12**, 2304 (1995).
11. Caves C.M. *Phys.Rev.D*, **26**, 1817 (1982).
12. Кулагин В.В., Руденко В.Н. *ЖЭТФ*, **94**, 51 (1988).
13. Ван Трис Г. *Теория обнаружения, оценок и модуляции* (М., Сов. радио, 1972, т. 1).
14. Ярив А. *Введение в оптическую электронику* (М., Высшая школа, 1983).
15. Ou Z.Y., Pereira S.F., Kimble H.J. *Phys.Rev.Letts*, **70**, 3229 (1993).
16. Гусев А.В., Кулагин В.В. *Радиотехника*, № 11, 23 (1988).